

## ЛИТЕРАТУРА

1. Kato H., Miyahara S. Read projection screens.— Publ. 11.10.77. Cl. 350/117. USA. Pat. 4053208.
2. Kato H., Miyahara S. Read projection screens.— Publ. 3.01.78. Cl. 350/126. USA. Pat. 4066332.
3. Dyson J. Optical diffusing screens of high efficiency.— JOSA, 1960, vol. 50, N 6.
4. Кнюфер Г., Бонке Г. Применение проекционного микроскопа «Е» для визуального контроля в микроэлектронике.— Йенское обозрение, 1980, № 2.

*Поступила в редакцию 13 декабря 1983 г.*

УДК 535.317.1

**М. Е. ЖАБОТИНСКИЙ, А. А. ЛАПИДЕС**  
(Москва)

### ИССЛЕДОВАНИЕ ТОЧНОСТИ КОГЕРЕНТНО-ОПТИЧЕСКОГО СПЕКТРАЛЬНОГО АНАЛИЗА СИГНАЛОВ МЕТОДОМ ТЕНЕВЫХ ГРАФИКОВ

Когерентно-оптический спектральный анализ функций методами теневых графиков с использованием амплитудного [1—4] или фазового [5] носителей нечувствителен к изменениям режима химической обработки [6]. По этой причине запись сигналов в силуэтной форме применяется при обработке радиолокационных сигналов [7], анализе «свернутого» спектра [8] и изготовлении пространственных фурье-фильтров [9].

Цель настоящей работы — исследование точности когерентного спектрального анализа сигналов методом теневых графиков. Расчет проводится на примере симметричной двусторонней записи сигнала (поперечной фонограммы), результаты легко обобщаются на другие аналогичные способы теневой записи сигналов [1—5].

Когерентно-оптический метод анализа сигналов, записанных в форме поперечной фонограммы, основан на том, что распределение амплитуды поля  $T(x_f, y_f)$  вдоль оси  $x_f$  дает спектр Фурье анализируемого сигнала [1—5]:

$$T(x_f, y_f) = \frac{a}{i\lambda F} \int_{-\infty}^{\infty} \frac{\sin [2\pi y_f (C_f(x/v) + B)/\lambda F]}{\pi y_f / \lambda F} \exp\left(-\frac{2\pi i x_f x}{\lambda F}\right) dx, \quad (1)$$

где  $a$  — амплитуда света,  $\lambda$  — длина волны,  $F$  — фокусное расстояние объектива,  $f(x/v)$  — анализируемый сигнал,  $v$  — скорость протяжки носителя,  $B$  — смещение,  $C$  — масштабный коэффициент. Спектр  $T(x_f, y_f)$  считывается вдоль оси  $x_f$  фотоприемником с диафрагмой размерами  $g$  (ось  $x_f$ ) и  $s$  (ось  $y_f$ ).

На рис. 1 схематично показаны теневой график 1 синусоидального сигнала, фурье-линза 2, фурье-плоскость 3, диафрагма фотоприемника, предназначенная для сканирования спектра вдоль оси  $x_f$ , 4. Спектр гармонического сигнала изображен в виде графиков, соответствующих зависимости амплитуды поля от координаты  $y_f$ .

Размер  $g$  диафрагмы однозначно связан с частотным разрешением  $\Delta f$  анализатора:

$$g = \lambda F / l \quad (2)$$

( $l$  — длина входного окна анализатора).

Ширина  $s$  определяется точностью анализа, так как распределение поля соответствует исследуемому спектру только при  $y_f = 0$ . Для нахождения

дения параметра  $s$  рассмотрим сигнал фотоприемника  $i$ :

$$i \propto \int_{x_f - g/2}^{x_f + g/2} \int_{-s/2}^{s/2} |T|^2 dx_{1f} dy_f, \quad (3)$$

где  $x_{1f}$  — переменная интегрирования. Пренебрегая аддитивным членом, подставим (1) в (3) и разложим синус в ряд Тейлора, ограничиваясь квадратичными по  $y_f$  членами и изменяя порядок интегрирования:

$$i \propto \int_{x_f - g/2}^{x_f + g/2} \int_{-\infty}^{\infty} z(x') z(x'') \exp\left(-\frac{2\pi i x_{1f} (x' - x'')}{\lambda F}\right) \times \\ \times \int_{-s/2}^{s/2} \left[1 - \frac{4}{3} \left(\frac{\pi y_f}{\lambda F}\right)^2 (z^2(x') + z^2(x''))\right] dy_f dx' dx'' dx_{1f}, \quad (4)$$

где  $x', x''$  — переменные интегрирования,  $z(x) = Cf(x/v) + B$ .

Ошибка анализа определяется квадратичным по  $y_f$  членом.

Для оценки сверху точности анализа проинтегрируем (4) по  $x_{1f}$ , воспользуемся тем, что  $f(x/v) \leq B/C$ , заменив  $z(x)$  на  $2B$ , и потребуем, чтобы ошибка не превосходила  $m\%$ :

$$\int_{-s/2}^{s/2} \frac{32}{3} (\pi B/\lambda F)^2 y_f^2 dy_f = m 10^{-2} s. \quad (5)$$

Отсюда следует, что

$$s = \sqrt{m/8} (3\lambda F/10\pi B). \quad (6)$$

Эта оценка с точностью до коэффициента, близкого к единице, совпадает с оценкой (5) из работы [1]. Однако на практике обе эти оценки иногда дают не совсем верное представление о требованиях к величине  $s$ . Это происходит, например, при анализе сигнала, содержащего гармонические составляющие с частотами  $f$  и  $2f$ . Если амплитуда гармоники с частотой  $2f$  значительно меньше амплитуды составляющей частоты  $f$  (например,  $m/2\%$  от ее величины), то при точном определении амплитуды на частоте  $2f$  требования к величине  $s$  становятся существенно более жесткими. Это объясняется тем, что гармоника с частотой  $f$  создает дифракционное поле на пространственной частоте  $f_x = 2/\Lambda$  при  $f_y \neq 0$ , где  $\Lambda$  — пространственный период, соответствующий частоте  $f$  [5]. Интенсивность этого поля (во втором порядке дифракции света на гармонике с частотой  $f$ ) много больше интенсивности света (в первом порядке дифракции света на составляющей с частотой  $2f$ ). Поэтому при считывании фурье-спектра при  $f_x = 2/\Lambda$  с помощью диафрагмы шириной  $s$  на фотоприемник попадает не только свет сигнала

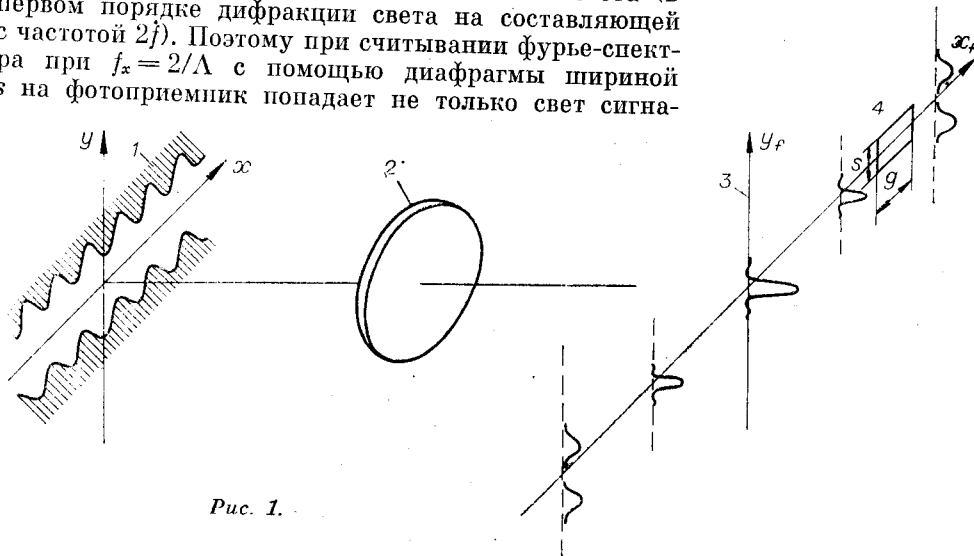


Рис. 1.

ла с частотой  $2f$ , но и часть света второго дифракционного максимума, обусловленного сигналом с частотой  $f$ . При точном измерении амплитуды спектра на частоте  $2f$  этот свет приводит к большой ошибке (при малых  $m$ ).

Это кажущееся противоречие легко объяснимо. Оценка (6) получена в предположении, что ошибка не превосходит  $m\%$ , причем ошибка понимается в интегральном смысле. Поэтому использование диафрагмы шириной, получаемой из (6), на пространственной частоте, соответствующей  $2f$ , приведет к интегральной ошибке, меньшей  $m\%$ , хотя точность оценки амплитуды на частоте  $2f$  будет незначительна.

Таким образом, оценка (6) не связывает ширину диафрагмы с допустимой ошибкой определения амплитуды сигнала на какой-либо определенной частоте. Отметим, что при выводе (5) необходимо интегрировать (4) по  $x_f$ , так как в противном случае замена  $z(x)$  на  $2B$  для оценки величины ошибки математически неправомерна.

Покажем, что для более точной оценки ширины  $s$  нужно иметь априорную информацию об анализируемом сигнале.

Разобьем (4) на два интеграла:

$$i \infty \int_{x_f-g/2}^{x_f+g/2} \int_{-\infty}^{\infty} z(x') z(x'') \exp\left(-\frac{2\pi i x_{1f}(x' - x'')}{\lambda F}\right) \times \\ \times \int_{-s/2}^{s/2} dy_f dx' dx'' dx_{1f} + \int_{x_f-g/2}^{x_f+g/2} \int_{-\infty}^{\infty} [z^3(x') z(x'') + \\ + z^3(x'') z(x')] \exp\left(-\frac{2\pi i x_{1f}(x' - x'')}{\lambda F}\right) \int_{-s/2}^{s/2} \frac{4}{3} \left(\frac{\pi y_f}{\lambda F}\right)^2 dy_f. \quad (7)$$

Первый интеграл в (7) позволяет получить неискаженную анализируемую мощность спектра, второй — выражение для оценки ошибки анализа. Внутренний (по  $y_f$ ) интеграл в первом слагаемом (7) равен  $s$ , а во втором —  $[-(\pi/3\lambda F)^2 s^3]$ . Обозначив через  $\mathfrak{F}(z)$  преобразование Фурье

функции  $z$ , получим, что первый интеграл в (7) есть  $\int_{x_f-g/2}^{x_f+g/2} |\mathfrak{F}(z)|^2 s dx_{1f}$ ,

а второй —

$$- \int_{x_f-g/2}^{x_f+g/2} \left(\frac{\pi}{3\lambda F}\right)^2 s^3 [\mathfrak{F}(z^3) \mathfrak{F}^*(z) + \mathfrak{F}(z) \mathfrak{F}^*(z^3)] dx_{1f}.$$

Если потребовать, чтобы ошибка не превосходила  $m\%$ , то вместо (6) будем иметь

$$s = \sqrt{m(3\lambda F/10\pi)} [|\mathfrak{F}(z)|^2/2\text{Re}[\mathfrak{F}(z^3)\mathfrak{F}^*(z)]]^{1/2}. \quad (8)$$

Рассмотрим несколько примеров.

При  $z(x) = 2B$  формулы (8) и (6) совпадают.

При анализе гармонического сигнала  $f(x/v)$  с пространственным периодом  $\Lambda$  и амплитудой  $A$  формула (8) дает для  $s$  значения  $\sqrt{m(3\lambda F/10\pi B)} \sqrt{2/3(4 + A^2/B^2)}$  при  $f_x = 1/\Lambda$  и нуль при  $f_x = k/\Lambda$ , где  $k$  — целое число, большее единицы. На остальных частотах  $s$  может принимать любые значения. Так как  $0 < A^2/B^2 \leq 1$ , при  $f_x = 1/\Lambda$   $\sqrt{2m/15} \times \sqrt{3\lambda F/10\pi B} < s < \sqrt{m/6(3\lambda F/10\pi B)}$ , что близко к оценке (6).

Пусть функция  $z(x)$  задается рядом

$$z(x) = B + \sum_{i=1}^N A_i \cos 2\pi f_{x_i} x, \quad (9)$$

$A_i$  — амплитуды,  $f_{x_i}$  — пространственные частоты.

Рассмотрим (8) при  $x_i$ , соответствующем какой-то частоте  $f_{x_i}$ . Вы-  
ражая косинус через сумму экспонент, получим

$$s = \sqrt{m} \frac{3\lambda F}{10\pi} \left[ \frac{A_i/2}{2 \left( \frac{3B^2 A_i}{2} + \frac{3A_i^3}{8} + \frac{3B}{4} \sum_{j,l} A_j A_l + \frac{3}{8} \sum_{k,n,p} A_k A_n A_p \right)} \right]^{1/2}, \quad (10)$$

где суммирование проводится по индексам  $j, l$  и  $k, n, p$ , таким, что

$$\begin{cases} |f_{x_j} \pm f_{x_l}| = f_{x_i}, \\ |f_{x_k} \pm f_{x_n} \pm f_{x_p}| = f_{x_i}. \end{cases} \quad (11)$$

В том случае, когда суммы обращаются в нуль (т. е. на частоте  $f_{x_i}$  не возникают нелинейные искажения), выражение (10) совпадает с оценкой для ширины  $s$  при анализе гармонического сигнала.

Оценим сверху суммы в знаменателе (10), воспользовавшись неравенством Коши — Буяковского. Заменяя первую сумму выражением  $\sum_j A_j^2 \sum_l A_l^2$ , которое вследствие условия  $\sum_{j,l} (A_j + A_l) < B - A_i$  принимает максимальное значение при  $A_j = A_l$ , получаем

$$\sum_{j,l} A_j A_l \leq (B - A_i)^2 / 4. \quad (12)$$

Аналогично для второй суммы в (10)

$$\sum_{k,n,p} A_k A_n A_p \leq (B - A_i)^3 / 27. \quad (13)$$

Объединяя (10), (12) и (13), имеем

$$s = \sqrt{m} \frac{3\lambda F}{10\pi B} \left[ \frac{2}{3 \left( 4 + \frac{A_i^2}{B^2} + \frac{(B - A_i)^2}{2BA_i} + \frac{(B - A_i)^3}{27B^2 A_i} \right)} \right]^{1/2}. \quad (14)$$

Формула (14) показывает, что при анализе частотных составляющих с большими амплитудами  $A_i \approx B$  оценки (6) и (14) почти одинаковы (так как практически весь сигнал сосредоточен на частоте  $f_{x_i}$ , интегральная и локальная оценки совпадают). Наоборот, при малых  $A_i$  оценка (6) несправедлива, поэтому для точного нахождения амплитуды сигнала на частоте  $f_{x_i}$  необходимо выбирать  $s$  существенно меньшие величины, вычисляемой из (6). Именно при малом  $A_i$  в знаменателе (14) можно пренебречь вторым и четвертым слагаемыми по сравнению с третьим и числитель третьего слагаемого заменить на  $B^2$ :

$$s = \sqrt{m} (3\lambda F / 10\pi B) [2/3(4 + B/2A_i)]^{1/2}. \quad (15)$$

Итак, для точного определения спектра сигнала с точностью  $m\%$  на любой частоте необходимо выбирать  $s$  по формуле (15), в которой под  $A_i$  подразумевается минимальное значение из всех амплитуд  $A_i$ . Это, однако, может приводить к большим потерям света, падающего на фотоприемник. Поэтому целесообразно точный спектральный анализ выполнять в два этапа. На первом этапе следует выбрать  $s$  в соответствии с (6), что обеспечивает интегральную точность  $m\%$ . На втором этапе необходимо по формуле (14) или (15) найти значение  $s$  для тех частот спектра, амплитуда которых невелика, и провести уточненный анализ спектра на этих частотах: локальная точность анализа при этом  $m\%$ .

Полученные соотношения не учитывают, однако, размытия фурье-спектра за счет влияния абберрационного пятна объектива. С помощью рис. 1 легко понять физическую причину уменьшения точности анализа из-за влияния абберраций. Абберрации приводят к тому, что вследствие размытия спектра вдоль оси  $y_f$  интенсивность света при  $y_f = 0$  в первом

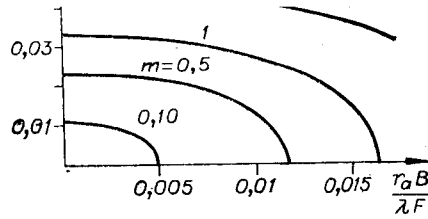


Рис. 2.

этому при считывании размытого спектра даже с помощью бесконечно узкой диафрагмы ( $s=0$ ) отклик фотоприемника не будет точно соответствовать спектру анализируемого сигнала.

Определим допустимую ширину  $s_1$  в этом случае, полагая для оценки, что спектр размывается вдоль оси  $y_j$  пятном

$$h = (1/2r_a) \text{rect}(y/2r_a). \quad (16)$$

Распределение поля  $T(x_j, y_j)$  в плоскости Фурье является результатом свертки выражений (1) и (16):

$$T(x_j, y_j) = \frac{a}{i\lambda F} \int_{-\infty}^{\infty} \exp\left(-\frac{2\pi i x_j x}{\lambda F}\right) \int_{-r_a}^{r_a} \frac{1}{2r_a} \frac{\sin[2\pi(y_j - y'_j)z/\lambda F]}{\pi(y_j - y'_j)/\lambda F} dy'_j dx, \quad (17)$$

где  $y'_j$  — переменная интегрирования. Подставляя (17) в (3), разлагая синус в ряд Тейлора, ограничиваясь квадратичными по  $y_j$  и  $r_a$  членами, имеем

$$i \infty \int_{x_j - s/2}^{x_j + s/2} \int_{-\infty}^{\infty} z(x') z(x'') \exp\left(-\frac{2\pi i x_{1j}(x' - x'')}{\lambda F}\right) \int_{-s_1/2}^{s_1/2} \int_{-r_a}^{r_a} \left[1 - \frac{4}{3} \left(\frac{\pi}{\lambda F}\right)^2 z^2(x')(y_j - y'_j)^2\right] dy'_j \int_{-r_a}^{r_a} \left[1 - \frac{4}{3} \left(\frac{\pi}{\lambda F}\right)^2 \times \right. \\ \left. \times z^2(x'')(y_j - y''_j)^2\right] dy''_j dy_j dx' dx'' dx_{1j}, \quad (18)$$

$y''_j$  — переменная интегрирования. Интегрируя по  $y'_j$  и  $y''_j$ , проанализируем внутренний (по  $y_j$ ) интеграл, сохраняя только квадратичные по  $y_j$  и  $r_a$  члены. Для оценки сверху заменим  $z(x)$  на  $2B$  и потребуем, чтобы интегральная ошибка составляла не более  $m\%$ . Аналогично (5)

$$\int_{-s_1/2}^{s_1/2} \frac{32}{3} \left(\frac{\pi B}{\lambda F}\right)^2 \left(y_j^2 + \frac{r_a^2}{3}\right) dy_j = m 10^{-2} \int_{-s_1/2}^{s_1/2} dy_j, \quad (19)$$

что дает для

$$s_1 = \sqrt{m/8} (3\lambda F/10\pi B) \sqrt{1 - 32 \cdot 10^2 \pi^2 B^2 r_a^2 / 9 m \lambda^2 F^2}. \quad (20)$$

Соотношение (20) при  $r_a=0$  совпадает с (6). На рис. 2 представлены построенные по формуле (20) зависимости относительной ширины  $s_1 B/\lambda F$  от относительного радиуса пятна  $r_a B/\lambda F$  при разных значениях  $m$ . Уменьшение  $m$  (увеличение точности анализа) и  $F$  (уменьшение масштаба спектра) приводит к уменьшению  $s_1$ .

Таким образом, получены соотношения для определения допустимой ширины диафрагмы на входе фотоприемника когерентно-оптического спектроанализатора сигналов, представленных в силуэтной форме. Показано, что в случае, когда спектр содержит слабые частотные составляющие, требования к диафрагме при анализе с высокой локальной точностью значительно выше требований при анализе с той же интегральной точностью. Определены требования к ширине диафрагмы при учете абберационного пятна объектива для заданной интегральной точности.

## ЛИТЕРАТУРА

1. Гибин И. С. и др. Анализ спектров одномерных сигналов оптическими методами.— Автометрия, 1971, № 1.
2. Дяченко А. А., Персиков М. В., Шушпанов О. Е. Применение теневых графиков для спектрального анализа функций методами когерентной оптики.— Опт. и спектр., 1971, т. XXXI, вып. 3.
3. Felstead E. V. Optical Fourier transformation of area-modulated spatial functions.— Appl. Opt., 1971, vol. 10, N 11.
4. Чугуй Ю. В. Анализ спектров сигналов с многодорожечной силуэтной записью.— Автометрия, 1974, № 6.
5. Zhabotinsky M. E., Lapidis A. A., Schpuntov A. I. Optical spectral analysis of signals recorded on a pure phase medium.— Opt. Lett., 1983, vol. 8, N 1.
6. Бургов В. А. Основы записи и воспроизведения звука.— М.: Искусство, 1959.
7. Белов Ю. И. и др. Об одном способе записи голограмм неоптических полей.— Изв. высш. учебн. заведений. Сер. Радиофизика, 1978, т. XXI, № 2.
8. Тай А., Юу Ф. Широкополосный спектральный анализ сигналов с использованием силуэтной записи (модуляции).— Автометрия, 1981, № 1.
9. Чугуй Ю. В. Оптическая обработка сигналов с помощью силуэтных фильтров.— Автометрия, 1972, № 5.

*Поступила в редакцию 28 марта 1983 г.;  
окончательный вариант — 22 августа 1983 г.*

---